

RECONSTRUCȚIA 3D A IMAGINII PICĂTURII ÎN PROCESUL DE TURNARE A MICROFIRULUI

Autori: Petre Plotnic, Sergiu Zaporojan, Constantin Plotnic
Universitatea Tehnică a Moldovei

Abstract: Forma picăturii în procesul de turnare a microfirului este un indice cheie în luarea deciziilor de reglare de către operatorul uman antrenat în această activitate. Deoarece sistemul inteligent de monitorizare al acestui proces [4] presupune acumularea unei baze de cunoștințe ce conține date numerice despre caracteristicile principale din procesul de turnare, inclusiv despre forma picăturii, este important ca printr-un număr limitat de date să fie posibilă reconstrucția imaginii virtuale a picăturii în spațiul 3D. Pentru a putea realiza mai ușor și mai rapid modelul virtual al picăturii, datele inițiale obținute sub forma unei table de puncte, cu ajutorul unor softuri sunt transformate în curbe B-splines sau suprafețe B-splines, aceste softuri având în spate o întreagă bibliotecă cu formule matematice (ca exemplu, sistemul MATLAB).

Cuvinte cheie: Microfir, picătură, model virtual, B-splines, interpolare liniară, interpolare spline cubică.

Pentru modelarea virtuală a picăturii, în procesul de turnare a microfirului, se utilizează o funcție de interpolare asociată unei table de puncte date de pe conturul real al picăturii.

Din punct de vedere matematic, o curbă generată pornind de la vîrfurile care definesc un poligon depinde de o anumită metodă de interpolare sau aproximare, care stabilește legătura dintre curbă și poligon.

În lucrarea [5] s-a folosit interpolarea liniară cu ajutorul polinomului Lagrange.

Reamintim că aproximarea Lagrange folosește următoarele funcții de bază:

$$L_j(x) = \frac{(x - x_0) \dots (x - x_{j-1})(x - x_{j+1}) \dots (x - x_p)}{(x_j - x_0) \dots (x_j - x_{j-1})(x_j - x_{j+1}) \dots (x_j - x_p)}$$

și polinomul Lagrange $P(x)$, asociat:

$$P(x) = \sum_{j=0}^p y_j L_j(x).$$

unde $x_0 < x_1 < x_2 < \dots < x_p$ sînt abscisele punctelor de control, iar $y_0, y_1, y_2, \dots, y_n$ respectiv ordonatele lor.

Un avantaj al reprezentării funcției de aproximare sub forma Lagrange o constituie faptul că polinoamele L_j depind numai de alegerea nodurilor și nu cer condiții de restricții auxiliare.

Două caracteristici ale acestora limitează flexibilitatea curbelor rezultate:

- numărul vîrfurilor poligonului determină gradul polinomului care definește curba;
- natura globală a polinoamelor Lagrange face ca o modificare a poziției unui singur vîrf să se facă simțită pe întreaga curbă; practic se elimină posibilitatea de a produce schimbări locale în curbe.

Interpolarea *spline cubică* înlătură aceste dezavantaje ale polinoamelor Lagrange. Comportamentul nonglobal al curbelor B-spline se datorează faptului că fiecărui vîrf i se asociază o singură funcție de bază. În consecință, fiecare vîrf afectează forma curbei numai în jurul acestuia, și anume pe domeniul în care funcția de bază asociată este nenulă. De asemenea se poate modifica ordinul funcțiilor de bază fără a se modifica numărul vîrfurilor date.

O curbă B-spline este descrisă prin relația:

$$P(t) = \sum_{i=0}^n P_i N_{i,k}(t)$$

unde:

- P_i sînt cele $(n+1)$ vîrfuri date;
- $N_{i,k}$ sînt funcțiile de amestec, numite și funcții B-spline, de ordin k definite recursiv astfel:

$$N_{i,1}(t) = \begin{cases} 1, & \text{dacă } x_i \leq t < x_{i+1} \\ 0, & \text{în caz contrar} \end{cases}$$

$$N_{i,j}(t) = \frac{t - x_i}{x_{i+k-1} - x_i} N_{i,j-1}(t) + \frac{x_{i+1} - t}{x_{i+k} - x_{i+1}} N_{i+1,j-1}(t) \text{ pentru } 1 < j < k$$

- valorile x_i sînt elemente ale unui vector de noduri (x_0, \dots, x_{n+k}) care va fi descris mai jos;
- parametrul t ia valori în intervalul $[x_0, x_{n+k}]$.

Vectorul de noduri este elementul adițional care conferă curbelor B-spline flexibilitate. În majoritatea cazurilor se folosesc vectori de forma:

$$\left(\underbrace{0 \ 0 \ \dots \ 0}_{k \text{ ori}} \ 1 \ 2 \ \dots \ m-1 \ \underbrace{m \ m \ \dots \ m}_{k \text{ ori}} \right) \quad \text{unde } m = n-k+2.$$

În acest caz funcția $P(t)$ este un polinom de grad $k-1$ pe fiecare interval $[x_i, x_{i+1}]$.

$P(t)$ și derivatele sale de ordin $1, 2, \dots, k-2$ sînt continue pe tot intervalul $[0, m]$.

Pentru $k=2$ se obține un caz particular: linia poligonală însăși.

Pentru $k=n$ se obține un alt caz particular; în acest caz parametrul t ia valori în intervalul $[0, 1]$ și se obține curba Bézier.

Pentru aproximarea numerică a funcției f de o variabilă reală prin *interpolare liniară*, *interpolare cu polinom Hermite* sau *interpolare cu funcții spline*, sistemul MATLAB pune la dispoziția utilizatorului funcția *interp1* cu următoarea sintaxă de apel:

$$vy = \text{interp1}(x, y, vx, 'metoda')$$

unde:

x - este vectorul punctelor $\{x_i\}$;

y - este vectorul punctelor $\{y_i\}$;

vx - este vectorul punctelor în care se dorește aproximarea funcției f ;

vy - este vectorul obținut prin aproximarea funcției f în punctele vx ;

metoda - reprezintă un șir de caractere prin care se precizează metoda de interpolare dorită:

linear - pentru interpolare *liniară* (este metoda implicită);

cubic sau *pchip* - pentru interpolare cu polinom *Hermite cubic pe porțiuni*;

spline - pentru interpolare *spline cubică*.

Interpolarea cu funcții spline poate fi realizată și cu funcția MATLAB *spline*, care are următoarea sintaxă de apel:

$$vy = \text{spline}(x, y, vx)$$

în care parametri x, y, vx și vy au aceleași semnificații ca și în cazul funcției *interp1*.

De fapt, metoda '*spline*' a funcției *interp1*, pentru realizarea interpolării, apelează fără implicarea utilizatorului funcția MATLAB *spline*.

Următorul cod:

```
x=[0.0, 0.8, 1.6, 2.4, 4.2, 5.0, 6.0];
```

```
y=[0.0, 2.5, 3.3, 3.9, 5.8, 7.1, 8.4];
```

```
xx=[0.0, -0.8, -1.6, -2.4, -4.2, -5.0, -6.0];
```

```
xi=0:0.1:6;
```

```
xxi=-6:0.1:0;
```

```
yi=spline(x,y,xi);
```

```
yyi=spline(xx,y,xxi);
```

```
plot(xi,yi,'r',xxi,yyi,'r')
```

realizat în MATLAB, desenează profilul picăturii, inițial dat prin șapte puncte de control, utilizând interpolarea spline cubică, figura 1(a). În figura 1(b) este afișat rezultatul unui program Java, care realizează un algoritm de interpolare liniară prin polinoame Lagrange, suprapus pe graficul obținut în MATLAB.

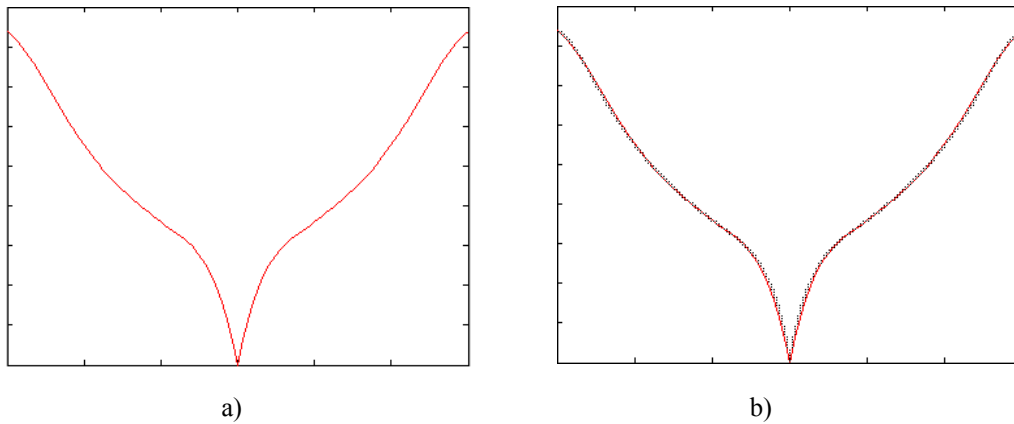


Figura 1. Reprezentarea picăturii prin șapte puncte : a),
b) graficile suprapuse căpătate prin cele două metode.

La suprapunerea celor două grafice observăm că profilurile căpătate, prin două metode diferite, practic coincid, ceea ce demonstrează selectarea reușită a numărului de puncte pentru metoda Lagrange. În cazul când numărul de puncte este diferit de șapte, graficul căpatat prin interpolare liniară diferă mult de profilul real al picăturii. În continuare pentru asigurare, în cazul modificării numărului punctelor de control, vom utiliza interpolarea *spline cubică*.

Ideia reconstrucției formei picăturii în spațiul $3D$ este: o suprafață oarecare de rotație este generată prin rotirea unei linii oarecare, dreaptă sau curbă, plană sau strâmbă, în jurul unei drepte numită axa suprafeței. În cazul dat ca generatoare vom folosi curba de profil a picături căpătate prin interpolare spline cubică utilizând șapte puncte de control, proiectată în planul (x,z) , iar axa Oz se ia ca axă a suprafeței.

Funcția *cylinder* din MATLAB, generează un cilindru de rază R , cu cercul bazei aproximat din N puncte echidistante. Se apelează cu sintaxa:

$[x,y,z]=cylinder(R,N)$

Funcția returnează matricile cu $2 \times X \times (N+1)$ elemente, care specifică vârfurile fiecărei suprafețe rezultate din aproximarea cercurilor intermediare bazelor cu poligoane cu N laturi. Vectorul R are două elemente $[R1 \ R2]$, care precizează raza obiectului la partea inferioară ($R1$) și superioară ($R2$), prin aceasta fiind posibilă construirea de conuri, trunchiuri de con, piramide, trunchiuri de piramide etc. Valoarea implicită este pentru $R=[1 \ 1]$, iar pentru $N=20$. În cazul când modificăm valoarea lui R de la $R1$ până la $R2$ cu punctele de pe curba generatoare obținem circumferințe ce aproximează suprafața cvazicilindrică a picăturii. Reprezentarea grafică a suprafeței se face cu funcția *surf*(x,y,z).

Executarea următorului cod în sistemul MATLAB, afișază, pe ecran, modelul virtual al picăturii în spațiul $3D$, figura 2.

```
clear all;
axis([-6 6 -6 6 0 9]);
axis equal;
xi=[0:.1:6];
zi=[0:.1:6];
x=[0.0 0.8 1.6 2.4 4.2 5.0 6.0];
y=[0.0 2.5 3.3 3.9 5.8 7.1 8.4];
yi= spline(y,x,zi);
subplot(121)
[X,Y,Z] = cylinder(yi,30);
surf(X,Y,Z);
view(0,0);
title('Vedere frontala');
xlabel('Axa x');

ylabel('Axa y');
zlabel('Axa z');
shading interp;
```

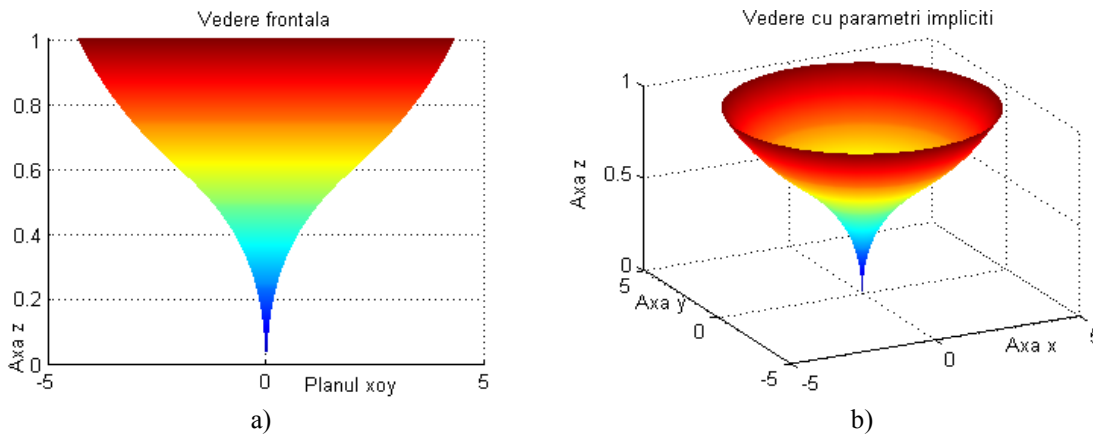


Figura 2. Modelul virtual al picăturii în spațiul 3D.

Poziția observatorului față de un obiect 3D se precizează prin unghiul pe orizontală (numit azimut) și unghiul pe verticală (numit elevație). Funcția *view* este utilizată pentru vizualizarea unei reprezentări grafice spațiale din diverse poziții; se apelează cu sintaxa:

view(az,elv);

unde: *az* este azimutul (sau unghiul în plan orizontal), iar *elv* este unghiul pe verticală (ambele în grade). Azimutul poate lua valori pozitive sau negative, cea pozitivă fiind o rotire în jurul axei *Oz* în sens orar. Valorile pozitive ale unghiului pe verticală corespund unui punct de observare plasat deasupra planului (*x,y*), iar valorile negative corespund punctelor de sub plan.

view(3) - stabilește reprezentarea grafică 3D cu valorile implicite: *az=-37.5, elv=30*.

Pentru orientare:

elv=90 - vederea de deasupra obiectului.

az=elv=0 - vedere directă din planul zero.

az=180 - vedere din spate a obiectului.

Figura 2(a) corespunde vederii directe din planul zero, iar figura 2(b) corespunde vederii cu valori implicite. Schimbând valoarea unghiului în plan orizontal și respectiv, valoarea unghiului pe verticală vom obține imaginea virtuală a picăturii din diferite puncte de observare.

Bibliografie

- [1] Marin Ghinea, Virgiliu Firețeanu. MATLAB, Calcul numeric, Grafică, Aplicații. Editura Teora, București, 2012.
- [2] Florica Moldoveanu. Grafica pe calculator. Editura Teora, București, 1996.
- [3] M. Postolache. Metode numerice. Editura Sirius, București, 1994.
- [4] S. Zaporojan, C. Plotnic, I. Calmicov, V. Larin. A knowledge-based approach for microwire casting plant control. In: J. Jozefczyk and D. Orski (Eds). *Knowledge-Based Intelligent System Advancements: systemic and cybernetic approaches*, Information Science Reference, Hershey New York, 2010.
- [5] S. Zaporojan, C. Plotnic, I. Calmicov. Some of the aspects of decision design in development of the intelligent wire casting machine. *Second International Conference Modelling and Development of Intelligent Systems*, Sibiu - Romania, September 29 - October 02, 2011